

NaA, CaA 및 Alumina상에서 Dichlorodifluoromethane 中의水分의吸着分離特性

李榮燮·朴健裕*·河白顯

漢陽大學校 化學工學科

*韓國科學技術院

(1986년 3월 4일 접수, 1986년 4월 25일 채택)

Adsorptive Separation Characteristics of Water from Dichlorodifluoromethane on NaA, CaA and Alumina

Young Sub Lee, *Kun You Park and Baik Hyon Ha

Department of Chem. Eng., Hanyang University

*Korea Advanced Institute of Science & Technology, Seoul, Korea

(Received 4 March 1986; accepted 25 April 1986)

要 約

Dichlorodifluoromethane中에 含有되어 있는 微量의水分을 選擇吸着하는데 効果的인 吸着劑를 검토하기 위해 세올라이트 A와 活性알루미나상에서 물의吸着 및 脱着特性과 破過曲線을 測定·研究하였다. 가스크로마토그라프에 의해 低壓領域에서 吸着等溫線과 昇溫 熱脫着曲線을 구하였으며 이로부터 구한 破過曲線으로부터 分子濾過作用을 하는 세올라이트 A가 活性알루미나보다 dichlorodifluoromethane중에 함유된水分의分離効果가 좋음을 알았다. CaA가 NaA보다 吸着容量은 커었으며 脱着에서는 NaA가 더 容易한 것을 확인하였다.

Abstract—The adsorption and desorption properties of water and breakthrough curves of dichlorodifluoromethane-water system were measured on zeolite NaA, CaA, and activated alumina to see the adsorption characteristics, which are effective for the separation of water from dichlorodifluoromethane-water mixture gas. The adsorption isotherms at low equilibrium pressure and the temperature programmed desorption curves of water were measured by gas chromatography. The separation of water from dichlorodifluoromethane on molecular sieving zeolite A has been found to be more effective than on activated alumina by comparing breakthrough curves which were determined from the measured isotherms. It may be ascertained that NaA is the most effective adsorbent from a standpoint of the regeneration by desorption process, although CaA adsorbs water more than NaA.

1. 緒論

無定型 실리카알루미나의 表面은 히드록실기를 가지고 있으며 이러한 표면의 성질이 水分과의 親水相互作用으로 吸着이 잘 일어난다[1]. 또한 $(\text{Si} \cdot \text{Al})\text{O}_4$ 四面体의 3次元 配列을 하고 있는 제올라이트도 유사한 親水性의 성질을 갖고 있다[2]. 그러나 알루미나와는 달리 제올라이트는 均一한 微細孔으로 이루어져 있어 분자 여과작용을 할 뿐만 아니라 水分과 강력한 親和力を 나타내어 極微量의水分을 除去하는데 우수한 건조제로 사용될 수 있다. 특히 제올라이트A는 有効細孔徑이 CaA 의 경우 5\AA , NaA 인 경우 4\AA 그리고 KA 인 경우 3\AA 등 被乾燥物質의 特性에 따라 적절하게 선정 사용할 수 있다. 본 研究에서는 冷媒로서 사용되고 있는 dichlorodifluoromethane中에 微量으로 存在하는水分을 除去하는데 제올라이트A의 吸着 및 脱着特性을 紛明하는 基礎研究를 수행하는데 重點을 두었다. 즉 dichlorodifluoromethane과 물의 活動分子半徑은 각각 4.4\AA 및 2.65\AA 으로 알려져 있으므로 [3] 分子 濾過作用이 가능한 CaA , NaA 그리고 細孔徑이 큰 活性알루미나를 사용하여 물의 吸着等溫線 및 脱着特性曲線 그리고 破過曲線을 얻고 比較 檢討하였다.

2. 実験

2-1. 吸着剤 選定 및 前処理

사용한 제올라이트는 미국 Union Carbide 사의 Molecular Sieve 5A (CaA , PLTS, 1/8 inch pellet)를 출발물질로 사용하였다. NaA 는 CaA 100g을 1N NaCl 용액 1000ml로 80°C에서 4회 반복이온交換 처리하고 중류수로 염소이온이 검출되지 않을 때 까지 충분히 세척한 후 건조하였다. 吸着剤는 実驗目的에 따라 吸着 및 脱着実驗에는 80 / 100mesh, 破過曲線測定実驗에는 20 / 30mesh로 粒度를 調節하였고 実驗 직전 질소 분위기하에서 300°C, 16시간 前處理를 실시하였다.

2-2. 吸着 및 脱着実驗

여러가지 温度에 대한 吸着等溫線과 脱着曲線은 가스크로마토그라프를 사용하여 测定하였다[4, 10].

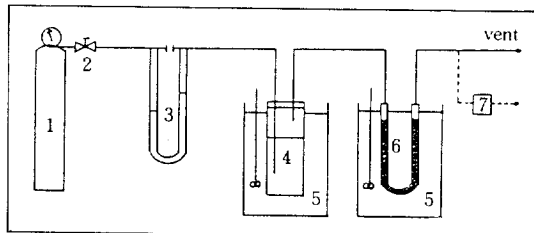


Fig. 1. Schematic diagram of apparatus for adsorption breakthrough curve experiment

1. Freon-12 cylinder
2. Needle valve
3. Flow meter
4. Water vapor saturator
5. Constant thermal bath
6. Adsorption bed
7. Gas chromatography

吸着温度는 80~220°C 범위에서 試料의 量은 0.14~0.2g, 同伴氣体의 流速은 23~30ml/min로 하였다. 脱着実驗은 40°C에서 300°C까지 升温率 6~20°C/min 범위에서 試料의 量 0.05~0.1g, 同伴氣体의 流速을 15ml/min로 하여 實施하였다.

2-3. 破過曲線 測定

純度 99.9%의 dichlorodifluoromethane을 Fig. 1과 같은 裝置를 利用하여 一定한 分壓의水分을 含有하는 water-dichlorodifluoromethane의 가스混合物을 만들어 吸着管에 導入하였다. 吸着管은 內徑이 3.7mm이고 길이는 13.9cm인 U字型 Pyrex 管을 사용하였다. 吸着管 出口ガス의 組成은 一定時間마다 gas chromatograph로 分析하였다.

3. 結果 및 檢討

3-1. 吸着等溫線

여러가지 吸着剤에 대하여 130°C에서 测定된 물의 吸着等溫線은 Fig. 2a와 같으며 Fig. 2b에는 平衡壓 10mmHg에 대한 等壓線을 나타내었다. 活性알루미나에 비해 제올라이트A가 同一한 平衡壓에서 큰 吸着量을 갖고 있음을 보여 주고 있다. CaA 는 총陽이온 密度(陽이온數/unit cell)가 NaA 에 비해 50%가 적고 반면 細孔容積이 增加되어 있다[3]. 또 2價陽이온이 가지는 靜電氣場이 1價陽이온보다 크므로[5, 6] 吸着容量은 CaA 가 NaA 보다 有利하다고 할 수 있다. 그러나 Fig. 2b의 等壓線에서 볼 수 있듯이 温度가 增加할수록 吸着量의

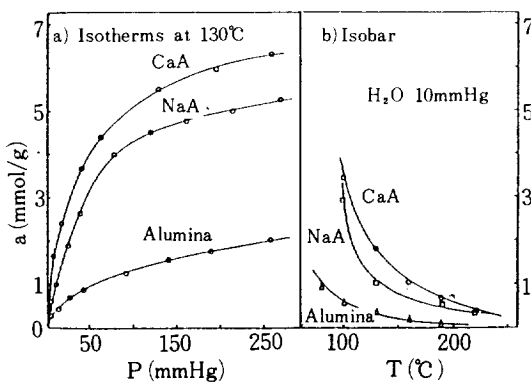


Fig. 2. Adsorptions of water on NaA, CaA and activated alumina.

減少率이 NaA편이 CaA보다 더 크다는 것은水分의吸着分離乾燥作用으로는 NaA가有利함을 알 수 있다.

3 - 2. 昇温 热脱着

吸着剤의 再生性을 檢討하기 위하여 물의 热脱着曲線을 구하여 보았다. 热脱着은 温度上昇에 대해 脱着된 기체의 分壓變化를 分壓 对 時間, 혹은 分壓 对 温度로서 脱着曲線을 얻는 것이다. 이러한曲線을 얻는데 장애요인은 주로 再吸着, 反応 및 管壁의 吸着等이 있을 수 있다. 그러나 이들의 영향을 무시할 수 있다면 被覆率 θ 의 脱着速度에 관한식은 다음과 같이 나타낼 수 있다[7].

$$\begin{aligned} -d\theta/dt &= k_a \cdot \theta^n \\ &= A \cdot \exp(-Ed/RT) \cdot \theta^n \end{aligned} \quad (1)$$

여기서 k_a 는 脱着速度常数이고 A 는 빙도인자, Ed 는 脱着活性化에너지이다. 위式에서 脱着速度는 温度에 따라 增加하지만 그에 따라 被覆率은 減少하게 된다. 그結果 脱着速度는 어느 温度(T_m)에서 最大值를 나타내게 된다. 여러가지 吸着剤에 대하여 昇温率 $\beta = 6^{\circ}\text{C}/\text{min}$ 에서 얻어진 脱着曲線을 Fig. 3에 나타내었다. 活性알루미나의 경우 두개의 peak를 갖는 완만한 탈착곡선에 tailing 현상을 갖고 있다. 반면 제올라이트A의 탈착곡선은 대략 세 개의 peak로 된 非對稱곡선으로 되어 있다. 첫째 peak는 細孔内 非特性吸着의 脱着에 기인하고 둘째 peak는 陽이온과 같은 吸着点과相互作用을 갖고 있던水分이며 세째 peak는 表面擴散에 의한水分에 기인하는 peak로 보여진다.

式(1)에서 脱着速度의 次数를 “1”이라고 가정하

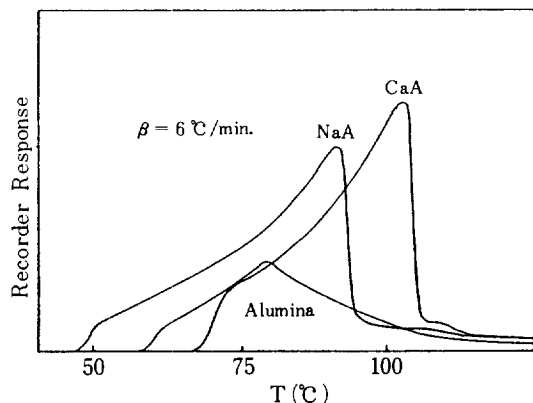


Fig. 3. TPD curves for NaA, CaA and activated alumina.

고 $T=T_0+\beta t$ 의 一定昇温率下에서 $d^2\theta/dt^2=0$ 으로부터 T_m 에 관한 式을 유도하면 다음과 같다.

$$\frac{Ed}{RTm^2} = \frac{A}{\beta} \exp(-Ed/RTm) \quad (2)$$

물의 注入量을 달리하여 구한 脱着曲線으로부터最大 脱着速度가 일어나는 温度(T_m)를 구하고 Fig. 4와 같이 表示하였을 때 直線관계를 보여 주므로서 $n=1$ 이라고 가정하여 만든 (2)式은 이 吸着系를 잘 表現할 수 있는 式으로 인정된다. Fig. 4의 기울기와 截片으로부터 脱着活性化에너지(Ed)와 빙도인자(A)를 구하여 Table 1에 정리하였다. CaA와 NaA를 비교하여 보면 1가와 2가에 따른 脱着活性化에너지에는 별로 차이가 없는 반면 빙도인자

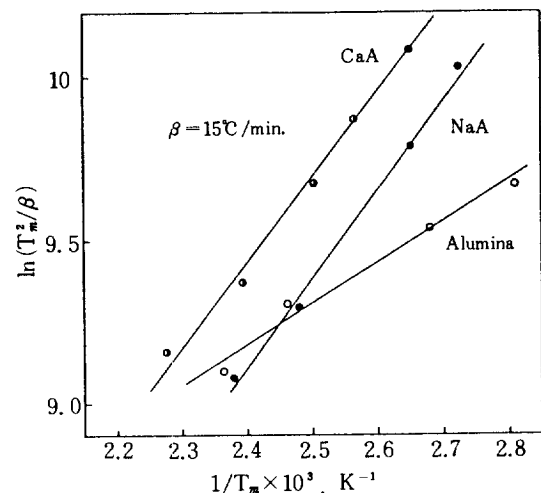


Fig. 4. Plots of $\ln(T_m^2/\beta)$ vs. $1/T_m \times 10^3$

Table 1. Frequency factor and activation energy for desorption when $n=1$.

Adsorbent	A (1/sec)	E_a (kcal/mole)
NaA	255.4	5.5
CaA	83.6	5.0
Activated alumina	2.5	2.4

에서의 차이는 CaA가 물에 대하여 吸着性能이 더 크기 때문인 것으로 보여진다.

3 - 3. 破過曲線

固定層 吸着塔에 微量의 水分을 함유하는 dichlorodifluoromethane 가스를 통과시켜 吸着剤에 따른 破過曲線을 구하였다. 破過曲線은 비교적 낮은 分壓條件에서 Langmuir形 等温吸着式을 적용할 수 있다는 가정하에 다음의 物質収支式과 吸着速度式으로부터 吸着塔出口濃度 (C) 와 経過時間 (t) 간의 관계식을導出할 수 있다[8].

(1) 物質収支

$$\epsilon \frac{\partial c}{\partial t} + \rho_s \frac{\partial a}{\partial t} + \epsilon v \frac{\partial c}{\partial x} = 0 \quad (3)$$

$$\rho_s \frac{\partial a}{\partial t} = k_a (c - c^*) \quad (4)$$

(2) 操作線

$$c/c_o = a/a_o \quad (5)$$

(3) Langmuir 吸着等温線

$$c^*/c_o = (a/a_o) / [1 + K_A P_o (1 - a/a_o)] \quad (7)$$

(3)~(7)式으로부터

$$\frac{1}{K_A P_o} \ln \left(\frac{c}{c_o - c} \right) + \ln \left(\frac{2c}{c_o} \right) = \frac{k_a c_o}{\rho_s a_o} (\hat{t} - \hat{t}_{1/2}) \quad (8)$$

여기서 $\hat{t} = t - x/u$ 이고 $c = c_o/2$ 에서 $\hat{t} = \hat{t}_{1/2}$ 이다. 물에 대한 40°C에서의 Langmuir 吸着等温式^(주1)은 앞서 测定한 高温에서의 吸着等温線 資料를 Polanyi 理論[11]에서 出發한 Dubinin-Astarkov式[12]에 적용시켜 구하였다. 이 式을 이용하면 한개의 等温線 data로부터 여러 다른 温度에 대한 吸着等温線을 구할 수 있다[4]. Fig. 5에서와 같이 低壓 영역에서 40°C로換算된 実驗值는 Langmuir isotherm 으로

(주1) : Langmuir isotherm; $\frac{P}{V} = \frac{1}{V_o K_A} + \frac{1}{V_o} P$

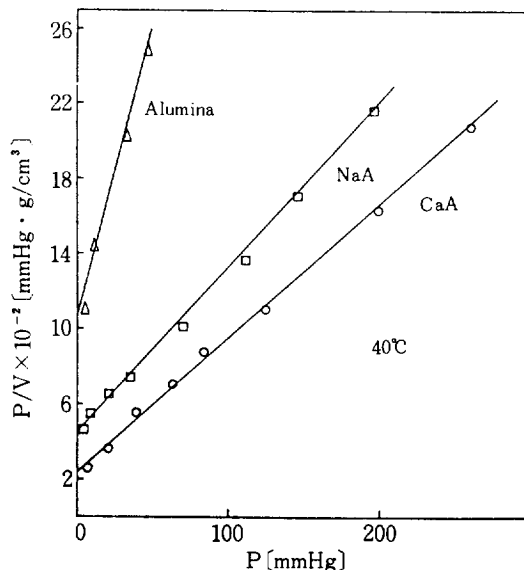


Fig. 5. Langmuir plots for NaA, CaA and activated alumina at 40°C.

잘 表現됨을 보여주고 있다. Fig. 6은 2.6%의 水分을 함유하는 dichlorodifluoromethane의 CaA와活性 알루미나에 대한 破過曲線이다. 実線은 (8)式을 이용하여 計算된 값이고 点은 実驗值이다. 飽和 狀態에서 計算值은 実驗值와 약간의 오차가 있으나 비교적 낮은 分壓에서는 Langmuir 吸着式이 이系에도 잘 적용됨을 알 수 있다. 일반적으로 CaA는 420 K 이하에서는 4.4 Å보다 큰分子는 거의 吸着이 이루어지지 않는다[13]. Dichloro-

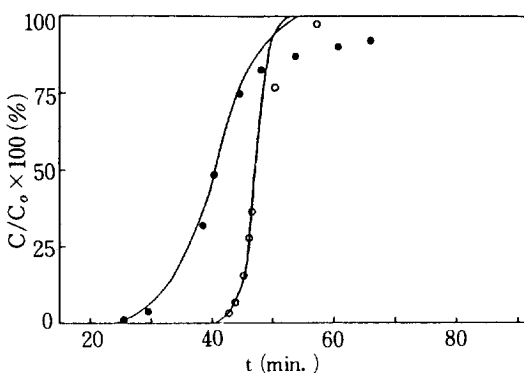


Fig. 6. Adsorption breakthrough curves for water vapor on CaA (○) and activated alumina (●) at 40°C, $P_0 = 19.76 \text{ mmHg}$ and carrier gas flowrate is 100 ml/min.

difluoromethane의 分子크기는 4.4 \AA 이므로 적어도 420 K 이상의 온도가 되어야 吸着이 可能 하며 이로 미루어 NaA에는 dichlorodifluoromethane은 吸着이 거의 不可能하다고 생각된다. 또 破過曲線에서 CaA의 水分吸着 分離能으로부터 제올라이트 NaA 가 dichlorodifluoromethane으로부터 水分을 除去하는 데 보다 有用할 것임을 預測할 수 있다.

4. 結論

昇溫熱脫着에서 脱着速度常数의 크기는 $\text{NaA} > \text{CaA} > \text{Alumina}$ 順으로 減少하였으며 그 값은 다음과 같다.

$$k_d(\text{NaA}) = 255.4 \exp(-5.5/RT)$$

$$k_d(\text{CaA}) = 83.6 \exp(-5.0/RT)$$

$$k_d(\text{Alumina}) = 2.5 \exp(-2.4/RT)$$

또 dichlorodifluoromethane으로부터 微量의 水分을 除去하는데에도 分離能은 제올라이트 A가 alumina 보다 훨씬 우수하고 그 中에서도 NaA가 적합함을 알 수 있었다.

감사

本研究의 遂行을 위하여 研究費를 支援하여 주신 科学技術处 및 蔚山化学(株)과 論文作成 過程에서 많은 助言을 주신 KAIST의 魚勇善 博士께 感謝드립니다.

NOMENCLATURE

A	: frequency factor
a	: solid-phase concentration of adsorbate, mmol/g
a_0	: value of "a" at equilibrium with feed concentration C_0
C	: concentration in fluid, mole/cm ³
C_0	: feed concentration, mole/cm ³
C^*	: adsorbate concentration on the solid sur- face, mole/cm ³
E_d	: activation energy for desorption, kcal/mole
K_A	: adsorption equilibrium constant
k	: mass transfer coefficient, cm/sec in Eq.(4)
k_d	: rate constant for desorption

n	: order of desorption process
P	: partial pressure of the adsorbate, mmHg
P_0	: partial pressure of adsorbate at inlet of the column, mmHg
R	: gas constant, 1.987 cal/mol. K
T	: temperature, K
T_m	: maximum temperature, K
T_0	: initial temperature, K
t	: time, sec
\hat{t}	: time following the arrival of a fluid par- ticle, equal to $t - (x/u)$ sec
u	: velocity at which the pattern moves along the bed, cm/sec
v	: average fluid velocity in the interstices between the particles; note that ϵv is superficial fluid velocity, cm/sec
V	: gas volume adsorbed, cm ³ /g of adsorbent
x	: axial distance along the bed, cm
α	: interfacial area of solid phase per volume of bed, cm ² /cm ³
β	: heating rate °C/min
ϵ	: fraction void space in packed bed
θ	: coverage
ρ_B	: bulk density, g/cm ³

REFERENCES

- Young, G.J. : *J. Colloid Sci.*, 13, 67 (1958).
- Chen, N.Y. : *J. Phys. Chem.*, 80(1), 60 (1976).
- Breck, D.W. : "Zeolite Molecular Sieves", John Wiley & Sons, New York (1974).
- Lee, Y.S., Park, K.Y. and Ha, B.H. : *HWA-HAK KONGHAK*, 23(2), 109 (1985).
- Rabo, J.A., Angell, C.L., Kasai, P.H. and Shomaker, V. : *Disc. Faraday Soc.*, 41, 328 (1966).
- Venuto, P.B. and Landis, P.S. : *Adv. Catal.*, 18, 261 (1968).
- Dawson, P.T. and Walker, P.C. : "Experimental methods in catalytic research", Vol. III, AP, P211 (1976).
- Sherwood, T.K., Pigford, R.L. and Wilke, C. R. : "Mass transfer", McGraw-Hill (1975).
- Garg, D.G. and Ruthven, D.M. : *Chem. Eng.*

- Sci., 29, 571 (1974).
10. Kiselev, A.V. and Yashin, Y.I. : "Gas Adsorption Chromatography" Plenum Press, N.Y. (1969).
11. Polanyi, M. : *Trans. Faraday Soc.*, 29, 316 (1933).
12. Kowazoe, K., Kawai, T., Eguchi, Y. and Itoga, K. : *J. of Chem. Eng. Japan*, 7, 158 (1974).